

桁の横倒れ座屈の剛性マトリックスによる解法
(多径間連続桁の横倒れ座屈解析)

北海道大学	正員	渡辺 昇
北海道大学	正員	林川 俊郎
北海道大学 ○学生員		佐藤 光一

1. まえがき

桁の横倒れ座屈に関する剛性マトリックスを説明し、この剛性マトリックスを用いて、桁の横倒れ座屈荷重を求めようとするものである。

2. 桁の横倒れ座屈の剛性マトリックス説明

図-1 の様な一軸対称構造の一様断面の桁式。端モーメント $M_x(0) = M_x(L) = M$ (-定) 及び、軸圧縮力 P を受けた横倒れ変形の座屈を起こす場合の基本微分方程式は、

$$EI_y \ddot{u}_s + P \cdot \dot{u}_s - (M - P \cdot y_0) \varphi'' = 0 \quad \cdots \cdots (1)$$

$$EC_w \ddot{\varphi} - (GJ_b - \beta_1 M - P \cdot I_o/A) \varphi'' - (M - P \cdot y_0) = 0 \quad \cdots \cdots (2)$$



ここに

座標の原点は図心である。

 y_0 は剪断中心の y 座標である。変位 u_s 、回転角 φ は、剪断中心のものである。

$$\beta_1 = \frac{1}{I_o} \left(\int_A y^3 dA + \int_A x^2 y dA \right) - 2y_0$$

$$I_o = I_x + I_y + A \cdot y_0^2 \quad (\text{剪断中心の回りの極慣性モーメント})$$

 I_x 、 I_y は 図心を通る主軸に関する主慣性モーメント

(1)(2) の連立微分方程式の一般解は、

$$u_s(z) = A_1 \cos mz + A_2 \sin mz + A_3 \cosh nz + A_4 \sinh nz + A_5 \cdot z + A_6 \quad \cdots \cdots (3)$$

$$\varphi(z) = A_1 a_1 \cos mz + A_2 a_1 \sin mz + A_3 a_2 \cosh nz + A_4 a_2 \sinh nz + A_5 \frac{C_1}{C_2} \cdot z + A_6 \frac{C_1}{C_2} + A_7 \cdot z + A_8 \quad \cdots \cdots (4)$$

$$\begin{aligned} C_1 &= \frac{P}{EI_y}, \quad C_2 = \frac{M - P \cdot y_0}{EI_y}, \quad D_1 = \frac{GJ_b - \beta_1 M - P \cdot I_o/A}{EC_w}, \quad D_2 = \frac{M - P \cdot y_0}{EC_w} \\ \alpha &= \frac{D_1 - C_1}{2}, \quad \beta = C_1 D_1 + C_2 D_2 \\ n &= \sqrt{\alpha^2 + \beta^2}, \quad m = \sqrt{-\alpha^2 + \beta^2}, \quad a_1 = \frac{C_1 - m^2}{C_2}, \quad a_2 = \frac{C_1 + m^2}{C_2} \end{aligned}$$

断面力の式に上述の(3)(4)を用いて代入すると、

$$Q_x(z) = -EI_y \ddot{u}_s - P \dot{u}_s - (M - P \cdot y_0) \varphi' = EI_y \cdot C_2 \cdot A_7 \quad \cdots \cdots (5)$$

$$M_y(z) = -EI_y \ddot{u}_s = EI_y (m^2 A_1 \cos mz + m^2 A_2 \sin mz + n^2 A_3 \cosh nz + n^2 A_4 \sinh nz) \quad \cdots \cdots (6)$$

$$M_o(z) = -EC_w \ddot{\varphi} + (GJ_b - \beta_1 M - P \cdot I_o/A) \varphi' + (M - P \cdot y_0) u_s = EC_w \left(\frac{\beta}{C_2} \cdot A_5 + D_1 \cdot A_7 \right) \quad \cdots \cdots (7)$$

$$M_w(z) = -EC_w \ddot{\varphi} = EC_w (m^2 A_1 \cdot a_1 \cos mz + m^2 A_2 \cdot a_1 \sin mz - n^2 A_3 \cdot a_2 \cosh nz - n^2 A_4 \cdot a_2 \sinh nz) \quad \cdots \cdots (8)$$

次に、両端 $Z=0$, $Z=L$ での断面力を積分定数 $A_1 \sim A_8$ を用いてマトリックス表すと、 $\{F\} = [G]\{A\}$

又、積分定数を両端 $Z=0$, $Z=L$ での変形量でマトリックス表すと、 $\{A\} = [H]\{U\}$

従って、 $\{F\} = [G][H]\{U\} = [G][K]\{U\}$

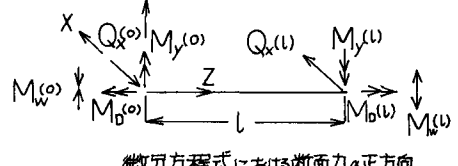
$[G] \cdot [H] = [K]$ が 刚性マトリックスである。

断面力の符号の変更に注意して、剛性マトリックスを表わすと次の様になる。

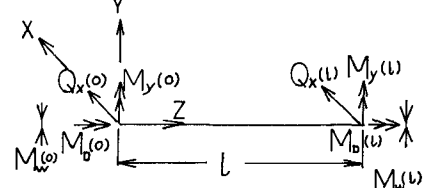
$$\begin{pmatrix} Q_x(0) \\ M_y(0) \\ M_d(0) \\ M_w(0) \\ Q_x(L) \\ M_y(L) \\ M_d(L) \\ M_w(L) \end{pmatrix} \begin{pmatrix} K_{11} & K_{12} & K_{13} & K_{14} & K_{15} & K_{16} & K_{17} & K_{18} \\ K_{21} & K_{22} & K_{23} & K_{24} & K_{25} & K_{26} & K_{27} & K_{28} \\ K_{31} & K_{32} & K_{33} & K_{34} & K_{35} & K_{36} & K_{37} & K_{38} \\ K_{41} & K_{42} & K_{43} & K_{44} & K_{45} & K_{46} & K_{47} & K_{48} \\ K_{51} & K_{52} & K_{53} & K_{54} & K_{55} & K_{56} & K_{57} & K_{58} \\ K_{61} & K_{62} & K_{63} & K_{64} & K_{65} & K_{66} & K_{67} & K_{68} \\ K_{71} & K_{72} & K_{73} & K_{74} & K_{75} & K_{76} & K_{77} & K_{78} \\ K_{81} & K_{82} & K_{83} & K_{84} & K_{85} & K_{86} & K_{87} & K_{88} \end{pmatrix} \begin{pmatrix} U_s(0) \\ U_s'(0) \\ \varphi(0) \\ \varphi'(0) \\ U_s(L) \\ U_s'(L) \\ \varphi(L) \\ \varphi'(L) \end{pmatrix}$$

----- (9)

$$\begin{aligned} K_{15} &= -K_{11}, K_{16} = K_{12}, K_{17} = -K_{13}, K_{18} = K_{14}, \\ K_{25} &= -K_{12}, K_{27} = -K_{23}, K_{35} = -K_{13}, K_{36} = K_{23}, \\ K_{37} &= -K_{33}, K_{38} = K_{34}, K_{45} = -K_{14}, K_{46} = K_{28}, \\ K_{47} &= -K_{34}, K_{55} = K_{11}, K_{56} = -K_{12}, K_{57} = K_{13}, \\ K_{58} &= -K_{14}, K_{66} = K_{22}, K_{67} = -K_{23}, K_{68} = K_{24}, \\ K_{77} &= K_{33}, K_{78} = -K_{34}, K_{88} = K_{44} \end{aligned}$$



微分方程式における断面力の正方向



刚性マトリックスにおける断面力の正方向

剛性マトリックスの各要素は以下の様である。

$$K_{11} = EI_y \left(n^3 \nu_2 \alpha_1 \Delta_1 - m^3 \lambda_2 \alpha_2 \Delta_2 \right) / (\alpha_1 - \alpha_2) \Delta_1 \cdot \Delta_2$$

$$K_{12} = EI_y \left(n^2 (\nu_1 - 1) \alpha_1 \Delta_1 + m^2 (\lambda_1 - 1) \alpha_2 \Delta_2 \right) / (\alpha_1 - \alpha_2) \Delta_1 \cdot \Delta_2$$

$$K_{13} = EI_y \left(m^3 \lambda_2 \Delta_2 - n^3 \nu_2 \Delta_1 \right) / (\alpha_1 - \alpha_2) \Delta_1 \cdot \Delta_2$$

$$K_{14} = EI_y \left(n^2 (1 - \nu_1) \Delta_1 + m^2 (1 - \lambda_1) \Delta_2 \right) / (\alpha_1 - \alpha_2) \Delta_1 \cdot \Delta_2$$

$$K_{22} = EI_y \left(m (m \lambda_1 - \lambda_2) \alpha_2 \Delta_2 + n (n \nu_1 - \nu_2) \alpha_1 \Delta_1 \right) / (\alpha_1 - \alpha_2) \Delta_1 \cdot \Delta_2$$

$$K_{23} = EI_y \left(m^2 (1 - \lambda_1) \Delta_2 + n^2 (1 - \nu_1) \Delta_1 \right) / (\alpha_1 - \alpha_2) \Delta_1 \cdot \Delta_2$$

$$K_{24} = EI_y \left(m (\lambda_2 - m \lambda_1) \Delta_2 + n (\nu_2 - n \nu_1) \Delta_1 \right) / (\alpha_1 - \alpha_2) \Delta_1 \cdot \Delta_2$$

$$K_{26} = EI_y \left(n (\nu_2 - n \nu_1) \alpha_1 \Delta_1 + m (\lambda_2 - m \lambda_1) \alpha_2 \Delta_2 \right) / (\alpha_1 - \alpha_2) \Delta_1 \cdot \Delta_2$$

$$K_{28} = EI_y \left(m (m \lambda_1 - \lambda_2) \Delta_2 + n (n \nu_1 - \nu_2) \Delta_1 \right) / (\alpha_1 - \alpha_2) \Delta_1 \cdot \Delta_2$$

$$K_{33} = EC_w \left(m^3 \lambda_2 \alpha_1 \Delta_2 - n^3 \nu_2 \alpha_2 \Delta_1 \right) / (\alpha_1 - \alpha_2) \Delta_1 \cdot \Delta_2$$

$$K_{34} = EC_w \left(n^2 (1 - \nu_1) \alpha_2 \Delta_1 + m^2 (1 - \lambda_1) \alpha_1 \Delta_2 \right) / (\alpha_1 - \alpha_2) \Delta_1 \cdot \Delta_2$$

$$K_{44} = EC_w \left(m (\lambda_2 - m \lambda_1) \alpha_1 \Delta_2 + n (\nu_2 - n \nu_1) \alpha_2 \Delta_1 \right) / (\alpha_1 - \alpha_2) \Delta_1 \cdot \Delta_2$$

$$K_{48} = EC_w \left(m (m \lambda_1 - \lambda_2) \alpha_1 \Delta_2 + n (n \nu_1 - \nu_2) \alpha_2 \Delta_1 \right) / (\alpha_1 - \alpha_2) \Delta_1 \cdot \Delta_2$$

ここで

$$\lambda_1 = \cos ml, \quad \lambda_2 = \sin ml, \quad \nu_1 = \cosh nl, \quad \nu_2 = \sinh nl$$

$$\Delta_1 = 2(1 - \lambda_1) - m l \lambda_2, \quad \Delta_2 = 2(1 - \nu_1) + n l \nu_2$$

3. 計算例

2軸対称断面で軸圧縮力 P のみを受ける両端単純支持の桁について。

固有座屈方程式は、剛性関係式において境界条件 $M_y(0) = M_w(0) = M_y(L) = M_w(L) = 0, U_s(0) = \varphi(0) = U_s(L) = \varphi(L) = 0$ を代入し、分割マトリックス演算を行い整理すると、この場合は。

$$\begin{vmatrix} K_{22}, K_{26} \\ K_{26}, K_{22} \end{vmatrix} \begin{vmatrix} K_{44}, K_{48} \\ K_{48}, K_{44} \end{vmatrix} = 0$$

軸圧縮に対する最小座屈荷重は、 $P_{cr} = (G J_b + \pi^2 E C_w / l^2) / (I_o / A)$

曲げ座屈に対する最小座屈荷重は、 $P_{cr} = E I_y \pi^2 / L^2$

$$Q_x(0) \Rightarrow -Q_x(0)$$

$$M_y(L) \Rightarrow -M_y(L)$$

$$M_d(0) \Rightarrow -M_d(0)$$

$$M_w(L) \Rightarrow -M_w(L)$$

以下の計算例では、断面は2軸対称I形断面、曲げモーメント $M_x(z)=M$ として計算を行った。

両端単純支持

$$\begin{array}{|c|c|c|} \hline Q^0 & K_{11} K_{12} K_{13} K_{14} K_{15} K_{16} K_{17} K_{18} & U_s^0 \\ \hline M_y^0 & K_{22} K_{23} K_{24} K_{25} K_{26} K_{27} K_{28} & U_s' \\ \hline M_b^0 & K_{33} K_{34} K_{35} K_{36} K_{37} K_{38} & \Phi^0 \\ \hline M_w^0 & K_{44} K_{45} K_{46} K_{47} K_{48} & \Phi' \\ \hline Q^2 & K_{55} K_{56} K_{57} K_{58} & U_s^2 \\ \hline M_y^2 & K_{66} K_{67} K_{68} & U_s' \\ \hline M_b^2 & K_{77} K_{78} & \Phi^2 \\ \hline M_w^2 & K_{88} & \Phi' \\ \hline \end{array}$$

----- (10)

SYM.

分割マトリックス演算を行い整理すると。

$$\begin{array}{|c|c|c|} \hline 0 & K_{22} K_{24} K_{26} K_{28} & U_s^0 \\ \hline 0 & K_{24} K_{44} K_{28} K_{48} & \Phi^0 \\ \hline 0 & K_{26} K_{28} K_{22} K_{24} & U_s' \\ \hline 0 & K_{28} K_{48} K_{24} K_{44} & \Phi' \\ \hline \end{array}$$

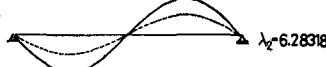
----- (11)

(11)の関係式を満たすためには。



$$\lambda_1 = 314159$$

$$\begin{array}{|c|c|c|} \hline K_{22} K_{24} K_{26} K_{28} \\ \hline K_{24} K_{44} K_{28} K_{48} \\ \hline K_{26} K_{28} K_{22} K_{24} \\ \hline K_{28} K_{48} K_{24} K_{44} \\ \hline \end{array} = 0 \quad \cdots \cdots (12)$$

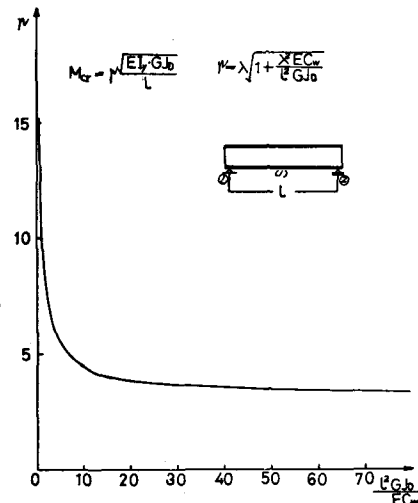


$$\lambda_2 = 6.28318$$

△関係が成立せねばならぬ。

上△固有座屈方程式を解きモードを描くと右図の様になる。

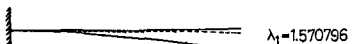
座屈の場合が最小固有振動問題となる。



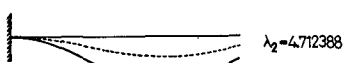
一端固定他端自由

境界条件 $Q_x^0 = M_y^0 = M_b^0 = M_w^0 = 0$, $U_s^0 = U_s' = \Phi^0 = \Phi' = 0$ を代入し、前述と同様の操作を行う。

$$\begin{array}{|c|c|c|} \hline K_{11} - K_{12} K_{13} - K_{14} \\ \hline -K_{12} K_{22} - K_{23} K_{24} \\ \hline K_{13} - K_{23} K_{33} - K_{34} \\ \hline -K_{14} K_{24} - K_{34} K_{44} \\ \hline \end{array} = 0 \quad \cdots \cdots (13)$$



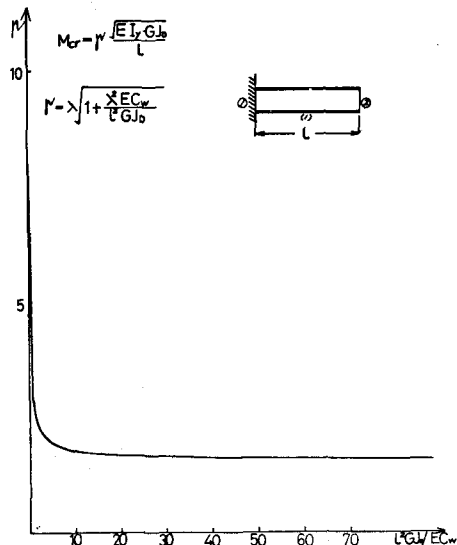
$$\lambda_1 = 1.570796$$



$$\lambda_2 = 4.712388$$



$$\lambda_3 = 7.85398$$



2径間連続桁

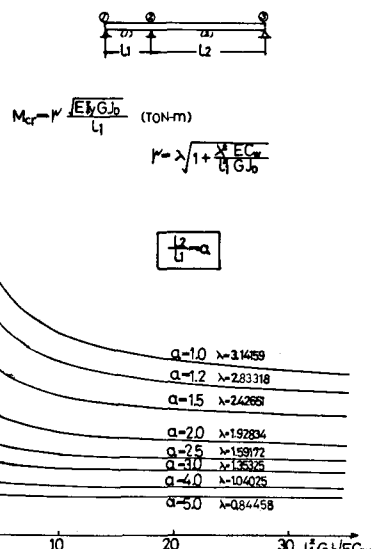
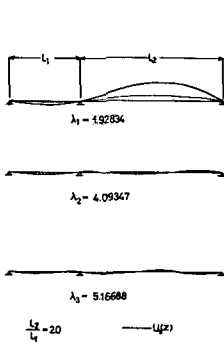
両端単純支持で桁の中間に水平方向に連結支持。断面定数は両径間等しいとして計算を行った。

(1)部材と(2)部材の剛性マトリックスを重ね合せた。

$$\left[\begin{array}{l} Q_x^1 \\ M_y^1 \\ M_D^1 \\ M_W^1 \\ Q_x^2 \\ M_y^2 \\ M_D^2 \\ M_W^2 \\ Q_x^3 \\ M_y^3 \\ M_D^3 \\ M_W^3 \end{array} \right] = \left[\begin{array}{l} K_{11}^{(1)} K_{12}^{(1)} K_{13}^{(1)} K_{14}^{(1)} K_{11}^{(2)} K_{12}^{(2)} K_{13}^{(2)} K_{14}^{(2)} 0 0 0 0 \\ K_{12}^{(1)} K_{22}^{(1)} K_{23}^{(1)} K_{24}^{(1)} K_{12}^{(2)} K_{26}^{(2)} K_{23}^{(2)} K_{28}^{(2)} 0 0 0 0 \\ K_{13}^{(1)} K_{23}^{(1)} K_{33}^{(1)} K_{34}^{(1)} K_{13}^{(2)} K_{23}^{(2)} K_{33}^{(2)} K_{34}^{(2)} 0 0 0 0 \\ K_{14}^{(1)} K_{24}^{(1)} K_{34}^{(1)} K_{44}^{(1)} K_{14}^{(2)} K_{28}^{(2)} K_{34}^{(2)} K_{48}^{(2)} 0 0 0 0 \\ K_{11}^{(1)} - K_{12}^{(1)} - K_{13}^{(1)} - K_{14}^{(1)} + K_{11}^{(2)} K_{12}^{(2)} K_{13}^{(2)} K_{14}^{(2)} - K_{11}^{(2)} K_{12}^{(2)} K_{13}^{(2)} K_{14}^{(2)} \\ K_{12}^{(1)} K_{23}^{(1)} K_{28}^{(1)} K_{26}^{(1)} K_{12}^{(2)} K_{22}^{(2)} K_{23}^{(2)} K_{28}^{(2)} - K_{12}^{(2)} K_{26}^{(2)} K_{23}^{(2)} K_{28}^{(2)} \\ K_{13}^{(1)} - K_{23}^{(1)} - K_{33}^{(1)} - K_{34}^{(1)} + K_{13}^{(2)} K_{23}^{(2)} K_{33}^{(2)} K_{34}^{(2)} - K_{13}^{(2)} K_{23}^{(2)} K_{33}^{(2)} K_{34}^{(2)} \\ K_{14}^{(1)} K_{28}^{(1)} K_{34}^{(1)} K_{48}^{(1)} - K_{14}^{(2)} K_{24}^{(2)} K_{34}^{(2)} K_{48}^{(2)} - K_{14}^{(2)} K_{28}^{(2)} K_{34}^{(2)} K_{48}^{(2)} \\ 0 0 0 0 - K_{11}^{(2)} K_{12}^{(2)} - K_{13}^{(2)} K_{14}^{(2)} K_{11}^{(2)} K_{12}^{(2)} K_{13}^{(2)} K_{14}^{(2)} \\ 0 0 0 0 K_{12}^{(2)} K_{26}^{(2)} K_{23}^{(2)} K_{28}^{(2)} - K_{12}^{(2)} K_{22}^{(2)} K_{23}^{(2)} K_{24}^{(2)} \\ 0 0 0 0 - K_{13}^{(2)} K_{23}^{(2)} - K_{33}^{(2)} K_{34}^{(2)} K_{13}^{(2)} K_{23}^{(2)} K_{33}^{(2)} K_{34}^{(2)} \\ 0 0 0 0 K_{14}^{(2)} K_{28}^{(2)} K_{34}^{(2)} K_{48}^{(2)} - K_{14}^{(2)} K_{24}^{(2)} K_{34}^{(2)} K_{44}^{(2)} \end{array} \right] = \left[\begin{array}{l} U_s^1 = 0 \\ U_s^2 = 0 \\ \Phi^1 = 0 \\ \Phi^2 = 0 \\ U_s^3 = 0 \\ U_s^4 = 0 \\ \Phi^3 = 0 \\ \Phi^4 = 0 \end{array} \right] \quad \text{--- (14)} \right.$$

上式に分割マトリックス演算を行い整理すると、次の固有方程式が得られる。

$$\left| \begin{array}{l} K_{22}^{(1)} K_{24}^{(1)} K_{26}^{(1)} K_{28}^{(1)} 0 0 \\ K_{24}^{(1)} K_{44}^{(1)} K_{28}^{(1)} K_{48}^{(1)} 0 0 \\ K_{26}^{(1)} K_{22}^{(1)} K_{24}^{(1)} K_{28}^{(1)} K_{26}^{(2)} K_{28}^{(2)} \\ K_{28}^{(1)} K_{22}^{(1)} K_{24}^{(1)} K_{28}^{(1)} K_{26}^{(2)} K_{28}^{(2)} \\ K_{28}^{(1)} K_{48}^{(1)} K_{24}^{(1)} K_{28}^{(1)} K_{48}^{(2)} \\ 0 0 K_{26}^{(2)} K_{28}^{(2)} K_{22}^{(2)} K_{24}^{(2)} \\ 0 0 K_{28}^{(2)} K_{48}^{(2)} K_{24}^{(2)} K_{44}^{(2)} \end{array} \right| = 0 \quad \text{--- (15)}$$



4. あとがき

以上のように本剛性マトリックスを用いると、

水平方向に支持された連続桁に対する機倒れ

座屈荷重を単に部材毎の剛性マトリックスを

重ね合わせ、境界条件を代入し分割マトリッ

クス演算を行い固有座屈方程式を解くことに

より簡単に求めることができる。又、変断面の桁に対しても同様に求めることができる。

但し、本剛性マトリックスを説明するため、 $M_x(z) = M = \text{一定}$ としたのでその様なモーメント状態に対して厳密な解が得られるが、モーメント $M_x(z)$ が変化する様な場合には、モーメント図を分割し、部材毎に重ね合せ、前述の操作を行うことにより近似解を求める事ができる。